

Лекция 9.

Излучение плоских раскрывов (апертурные антенны).

9.1. Идеальная апертурная антенна

Сначала разберёмся, как работает идеальная апертурная антенна, которая является простой расчётной моделью многих типов направленных антенн.

Пусть на отверстие в плоском непрозрачном экране падает плоская волна (рис.9.1).

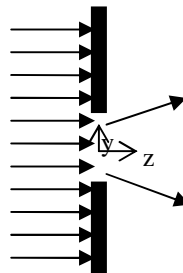


Рис. 9.1. Падение плоской волны на отверстие в экране

Плоская волна – это простейшее решение уравнений Максвелла.

$$\text{rot}\mathbf{H} = i\omega\epsilon_0\mathbf{E}; \quad \text{rot}\mathbf{E} = -i\omega\mu_0\mathbf{H};$$

Рассмотрим частный случай, соответствующий плоской волне, распространяющейся в положительном направлении оси Z (в левой части рисунка). Ищем решение в виде скалярной функции, умноженной на постоянный вектор (единичный вектор вдоль оси X):

$$\mathbf{E} = E_0 e^{-ikz} \mathbf{e}_x;$$

Чтобы найти вектор \mathbf{H} из второго уравнения Максвелла, нужно вычислить ротор вектора \mathbf{E} . Для этого воспользуемся тождеством из векторного анализа:

$$\text{rot}(S\mathbf{V}) = [\nabla S, \mathbf{V}] + S \text{rot}\mathbf{V};$$

Здесь S – произвольная скалярная функция, \mathbf{V} – произвольная векторная функция.

$$\text{Получим: } \text{rot}\mathbf{E} = [\nabla E_0 e^{-ikz}, \mathbf{e}_x] = -ikE_0 e^{-ikz} [\mathbf{e}_z, \mathbf{e}_x] = -ikE_0 e^{-ikz} \mathbf{e}_y;$$

После подстановки этого выражения во 2-е уравнение Максвелла, получим:

$$-ikE_0 e^{-ikz} \mathbf{e}_y = -ikW_0 \mathbf{H};$$

или $\mathbf{H} = \frac{1}{W_0} E_0 e^{-ikz} \mathbf{e}_y$; получили выражение полного поля в левой части рисунка:

$$\{\mathbf{E}, \mathbf{H}\} = E_0 e^{-ikz} \left\{ \mathbf{e}_x, \frac{1}{W_0} \mathbf{e}_y \right\};$$

Это поле удовлетворяет второму уравнению Максвелла. Нужно ещё убедиться, что оно является решением и первого уравнения Максвелла. Получаем:

$$\text{rot}\mathbf{H} = -ikE_0 e^{-ikz} \left[\mathbf{e}_z, \frac{1}{W_0} \mathbf{e}_y \right] = ik \frac{1}{W_0} E_0 e^{-ikz} \mathbf{e}_x$$

Вспоминая, что $k = \frac{\omega}{c} = \omega\sqrt{\epsilon_0\mu_0}$, а $W_0 = \sqrt{\mu_0/\epsilon_0}$, получаем $\text{rot}\mathbf{H} = i\omega\epsilon_0\mathbf{E}$;

Вычислим плотность потока мощности в плоской волне, определяемую величиной вектора Пойнтинга:

$$\mathbf{p} = 0.5 [\mathbf{E}, \mathbf{H}^*] = \frac{E_0^2}{2W_0} \mathbf{e}_z; \quad (9.1)$$

Излучение поля из отверстия эквивалентно излучению токов, заданных поверхностными плотностями $\mathbf{J}^e = [\mathbf{n}, \mathbf{H}]$, $\mathbf{J}^m = -[\mathbf{n}, \mathbf{E}]$: подставляя выражение полей, получаем:

$$\mathbf{J}^e = [\mathbf{e}_z, \mathbf{H}] = -\frac{E_0}{W_0} \mathbf{e}_x; \quad \mathbf{J}^m = -[\mathbf{e}_z, \mathbf{E}] = -E_0 \mathbf{e}_y;$$

Перейдём от поверхностных плотностей к полному току, точнее к моментам полного тока:

$$I^e l^e = \mathbf{J}^e dxdy = -\frac{E_0}{W_0} \mathbf{e}_x dxdy;$$

$$I^m l^m = \mathbf{J}^m dxdy = -E_0 \mathbf{e}_y dxdy;$$

Моменты токов входят в формулу для поля излучения в дальней зоне электрического и магнитного элементов тока:

$$\mathbf{E} = \left\{ W_0 I^e l^e \left[[\mathbf{e}_{I^e}, \mathbf{e}_R], \mathbf{e}_R \right] - I^m l^m \left[\mathbf{e}_{I^m}, \mathbf{e}_R \right] \right\} e^{ik(r, \mathbf{e}_R)} \frac{ik}{4\pi R_0} \frac{e^{-ikR_0}}{R_0};$$

Подставляя в неё выражения для моментов тока, с учётом того, что вектор \mathbf{r} , определяющий координаты точки, в которой расположены излучающие токи, для элементов электрического и магнитного токов один и тот же, получим:

$$d\mathbf{E} = \frac{-ike^{-ikR_0}}{4\pi R_0} E_0 e^{ik(r, \mathbf{e}_r)} \left\{ \left[[\mathbf{e}_x, \mathbf{e}_R], \mathbf{e}_R \right] - [\mathbf{e}_y, \mathbf{e}_R] \right\} dxdy;$$

Далее проводим вычисление векторных и скалярных произведений, с учётом того, что составляющая электрического тока направлена вдоль оси X, а составляющая магнитного тока – вдоль оси Y.

$$[[\mathbf{e}_x, \mathbf{e}_R], \mathbf{e}_R] = -\cos \vartheta \cos \varphi \mathbf{e}_\vartheta + \sin \varphi \mathbf{e}_\varphi;$$

$$[\mathbf{e}_y, \mathbf{e}_R] = \cos \varphi \mathbf{e}_\vartheta - \cos \vartheta \sin \varphi \mathbf{e}_\varphi;$$

$$[[\mathbf{e}_x, \mathbf{e}_R], \mathbf{e}_R] - [\mathbf{e}_y, \mathbf{e}_R] = -(1 + \cos \vartheta) (\cos \varphi \mathbf{e}_\vartheta - \sin \varphi \mathbf{e}_\varphi);$$

$$(\mathbf{r}, \mathbf{e}_r) = x \sin \vartheta \cos \varphi + y \sin \vartheta \sin \varphi; \quad x = r \cos \psi; \quad y = r \sin \psi;$$

После подстановки полученных выражений в элемент излучённого поля и интегрирования этого элемента по площади отверстия в экране, получим выражение для электрического поля излучения (в дальней зоне):

$$d\mathbf{E} = \frac{i}{\lambda} \frac{e^{-ikR_0}}{R_0} \frac{1 + \cos \vartheta}{2} (\cos \varphi \mathbf{e}_\vartheta - \sin \varphi \mathbf{e}_\varphi) E_0 e^{ik \sin \vartheta (x \cos \varphi + y \sin \varphi)} dxdy;$$

$$\mathbf{E} = \frac{i}{\lambda} \frac{e^{-ikR_0}}{R_0} \frac{1 + \cos \vartheta}{2} (\cos \varphi \mathbf{e}_\vartheta - \sin \varphi \mathbf{e}_\varphi) \iint_S E_0 e^{ik \sin \vartheta (x \cos \varphi + y \sin \varphi)} dxdy;$$

Излучение плоской волны из отверстия образовало сферическую волну в дальней зоне. Антенну, образованную излучением из отверстия в экране при нормальном падении на него плоской волны, называют идеальной апертурной антенной. Выражение электрического поля, излучённого идеальной апертурной антенной, по форме похоже на диаграмму направленности антенной решётки, с элементарным излучателем типа элемента Гюйгенса и множителем

решётки, который можно представить в виде двумерного интеграла Фурье, если сделать замены:

$$F_{el}(\vartheta, \varphi) = \frac{1 + \cos \vartheta}{2} (\cos \varphi e_{\vartheta} - \sin \varphi e_{\varphi});$$

$$\xi = \sin \vartheta \cos \varphi / \lambda; \eta = \sin \vartheta \sin \varphi / \lambda;$$

$$E = \frac{i}{\lambda} \frac{e^{-ikR_0}}{R_0} F_{el}(\vartheta, \varphi) \iint_S E_0 e^{2\pi i(x\xi + y\eta)} dx dy; \quad (9.3)$$

В апертурной антенне (как и в любой решётке, состоящей из одинаковых и одинаково направленных элементов) информация о поляризации излучения содержится только в диаграмме направленности элементарного излучателя: $F_{el}(\vartheta, \varphi)$. Заметим, что мы не конкретизировали форму отверстия.

9.2. КНД идеальной апертурной антенны

Рассчитаем КНД идеальной апертурной антенны в направлении оси Z. КНД определяется, как отношение максимальной плотности потока мощности к средней плотности потока мощности, излучаемой антенной. Максимальное значение модуля интеграла поля излучения (9.3,а) получается при $\xi=\eta=0$, то есть, при $\theta=0$. В этом случае интеграл в (9.3,а) равен $E_0 S$. Здесь S – это площадь отверстия. Но модуль диаграммы направленности элемента Гюйгенса (9.2), в этом случае, равен единице, поэтому $|E|_{\max} = E_0 S / \lambda R_0$. По величине максимального электрического поля излучения можно вычислить величину максимальной плотности потока излучённой мощности: $|P|_{\max} = |E|_{\max}^2 / 2W_0 = E_0^2 S^2 / 2W_0 \lambda^2 R_0^2$.

Для расчёта КНД нужно ещё вычислить среднюю плотность потока излучённой мощности. Среднюю плотность можно вычислить как отношение полной излучённой мощности к площади поверхности сферы радиуса R_0 . Полная излучённая мощность для идеальной антенны равна подводимой мощности и вычисляется умножением плотности потока мощности в плоской волне в пределах отверстия на площадь отверстия. Итак,

$P_{\Sigma} = E_0^2 S / 2W_0$, $|P|_{\text{mid}} = P_{\Sigma} / 4\pi R_0^2 = E_0^2 S / 8\pi R_0^2 W_0$. КНД идеальной апертурной антенны получим делением максимальной плотности потока излучения на среднюю:

$$D = \frac{|P|_{\max}}{|P|_{\text{mid}}} = \frac{4\pi S}{\lambda^2}.$$

9.3. Реальная апертурная антенна

Найденная связь КНД с площадью апертуры универсальна, то есть применима не только к идеальной апертурной антенне, но и к реальным антеннам. Нужно только заменить в формуле для КНД **геометрическую** площадь излучающей апертуры на **эффективную** площадь.

Форма диаграммы направленности идеальной апертурной антенны зависит от формы излучающей апертуры. Вычислим сначала диаграмму направленности прямоугольной апертуры (рис.9.2). Для этого достаточно вычислить интеграл в формуле (9.3,а) для случая прямоугольной области интегрирования. Пусть размер прямоугольника равен a в направлении оси X и b в направлении оси Y. Интеграл превращается в произведение двух интегралов. Вычисляя двойной интеграл по прямоугольнику, получим:

$$\iint_{\square} e^{ik \sin \vartheta (x \cos \varphi + y \sin \varphi)} dx dy = S \left(\frac{\sin(0.5ka \sin \vartheta \cos \varphi)}{(0.5ka \sin \vartheta \cos \varphi)} \right) \left(\frac{\sin(0.5kb \sin \vartheta \sin \varphi)}{(0.5kb \sin \vartheta \sin \varphi)} \right); \quad (9.4)$$

Обратим внимание на дискретный характер боковых лепестков при равномерном облучении прямоугольной апертуры. Ширину диаграммы направленности, определяемой формулой (9.4), можно найти с помощью таблицы 1 из 4-й лекции. Для прямоугольной апертуры с равномерным распределением поля $\Delta\theta_{0,7} \sim 50.7 \lambda/a$, где a – сторона прямоугольника. Уровень первого бокового лепестка ~ минус 13 дБ, согласно той же таблице.

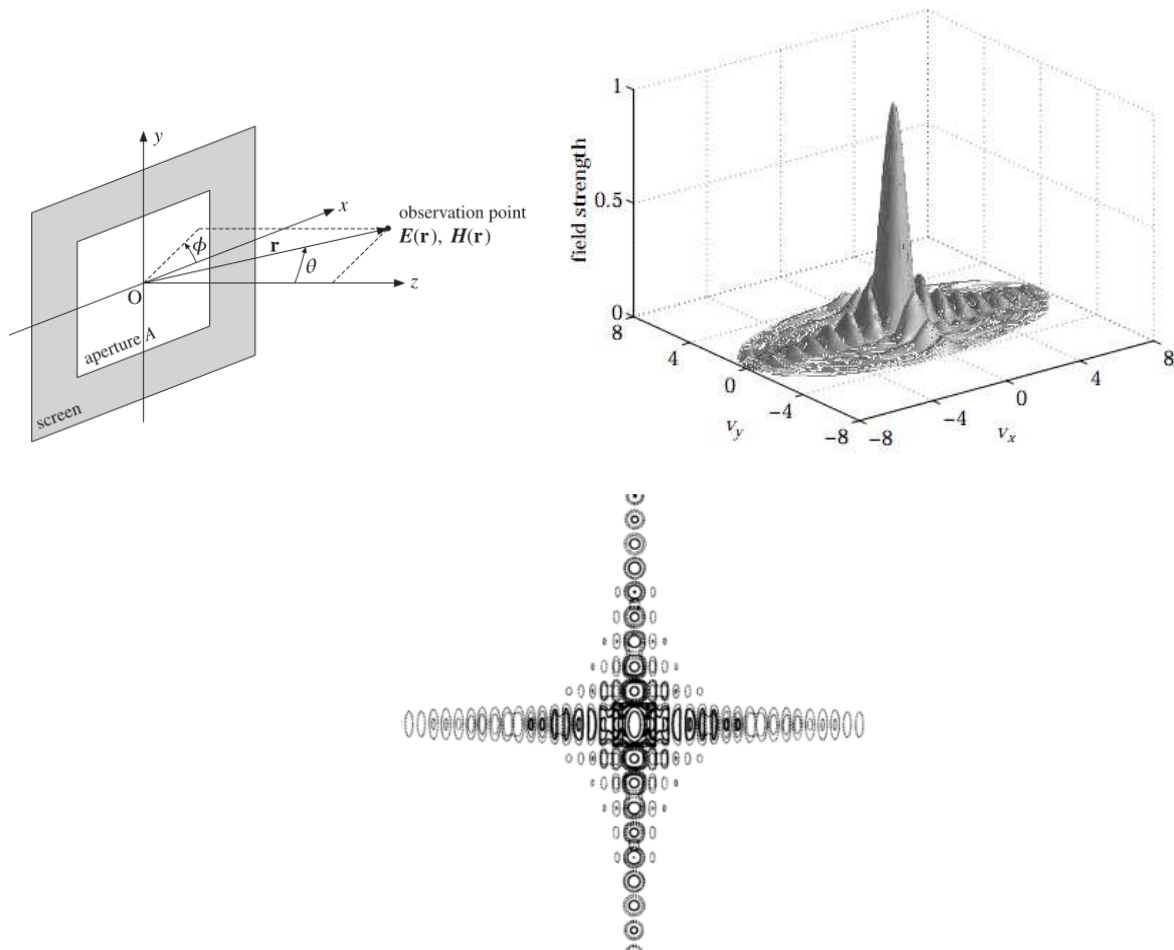


Рис.9.2. Система координат в прямоугольной апертуре и трёхмерное изображение диаграммы направленности. По горизонталям отложено $v_x = ka \sin \vartheta \cos \varphi$ и $v_y = kb \sin \vartheta \sin \varphi$, по вертикальной оси – величина поля E

Аналогично вычисляется диаграмма направленности круглой, равномерно облучённой апертуры (рис.9.3):

$$\iint_{\bigcirc} e^{ik \sin \vartheta (x \cos \varphi + y \sin \varphi)} dx dy = S \frac{2J_1(ka \sin \vartheta)}{(ka \sin \vartheta)}; \quad (9.5)$$

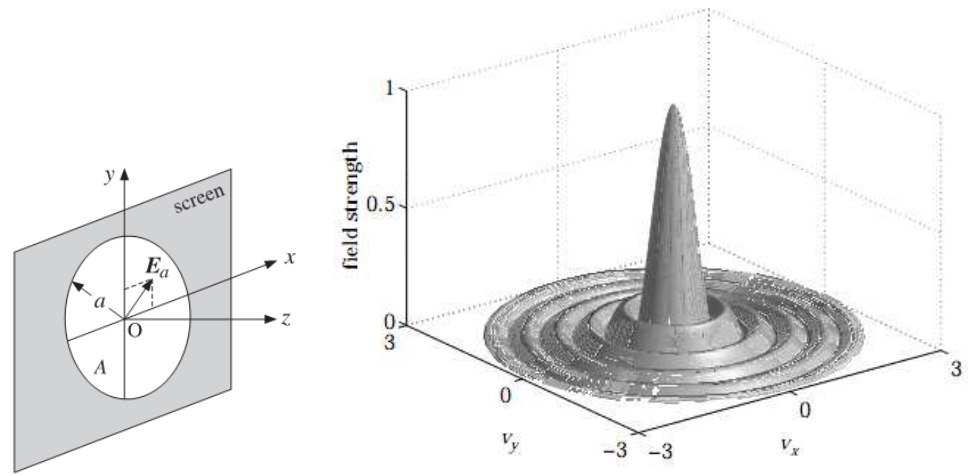


Рис.9.3. Изображение диаграммы направленности равномерно облучённой круглой апертуры

В случае равномерного облучения круглой апертуры вся диаграмма, как и её боковые лепестки, обладают осевой симметрией. Ширину диаграммы направленности круглой, **равномерно** облучённой апертуры можно найти по формуле: $\Delta\theta_{0.7} \sim 59^\circ \lambda/d$.

Класс реальных апертурных антенн очень широк. К нему относятся всевозможные рупорные антенны, излучатели, типа открытого конца волновода, рефлекторные и линзовые антенны. К апертурным антеннам можно отнести и некоторые типы антенных решёток

Изложенная теория идеальной апертурной антенны применима к **реальным** апертурным антеннам. Нужно лишь считать, что распределение поля E_0 в пределах апертуры в реальных антеннах может меняться как по амплитуде, так и по фазе. В реальных антеннах также может быть заменён элемент Гюйгенса на какой-нибудь другой элементарный излучатель. С такими изменениями формула (9.3,а) остаётся в силе.

$$\mathbf{E} = \frac{i}{\lambda} \frac{e^{-ikR_0}}{R_0} F_{el}(\vartheta, \varphi) \iint_S E_0(x, y) e^{2\pi i(x\xi + y\eta)} dx dy; \quad (9.3,б)$$

9.4. КНД и эффективная площадь реальной апертурной антенны

Рассчитаем КНД реальной апертурной антенны по этой, слегка видоизменённой формуле. Будем считать, что максимум модуля интегрального члена достигается в направлении ($\xi=\eta=0$). В этом же направлении при $\theta=0$ имеет место максимум модуля диаграммы направленности элементарного излучателя, причём он равен единице. Тогда максимальное значение модуля электрического поля в дальней зоне можно вычислить по формуле:

$$|E|_{\max} = \left| \iint_S E_0(x, y) dx dy \right| / \lambda R_0$$

из которого можно получить максимальное значение величины вектора Пойнтинга в дальней зоне:

$$|P|_{\max} = |E|_{\max}^2 / 2W_0 = \left| \iint_S E_0(x, y) dx dy \right|^2 / 2W_0 \lambda^2 R_0^2$$

Аналогичным образом вычисляется среднее значение величины вектора Пойнтинга в дальней зоне по величине полной излучённой мощности (в предположении, что к излучающей апертуре вектор Пойнтинга поля $E_0(x, y)$ подходит по нормали):

$$P_{\Sigma} = \iint_S |E_0(x, y)|^2 dx dy / 2W_0, |P|_{mid} = P_{\Sigma} / 4\pi R_0^2 = \iint_S |E_0(x, y)|^2 dx dy / 8\pi R_0^2 W_0$$

КНД реальной апертурной антенны получим делением максимальной плотности потока излучения на среднюю:

$$D = \frac{|P|_{max}}{|P|_{mid}} = \frac{4\pi}{\lambda^2} \frac{\left| \iint_S E_0(x, y) dx dy \right|^2}{\iint_S |E_0(x, y)|^2 dx dy}; \quad (9.6, a)$$

Отношение интегралов в этой формуле и представляет эффективную площадь реальной апертурной антенны (проверьте, что отношение интегралов в формуле (5.6,б) имеет размерность площади).

$$S_{eff} = \frac{\left| \iint_S E_0(x, y) dx dy \right|^2}{\iint_S |E_0(x, y)|^2 dx dy} \quad (9.6, б)$$

Заметим, что для вычисления эффективной площади и КНД реальной апертурной антенны не требуется вычислять **поле излучения**, достаточно знать распределение **поля в излучающей апертуре** антенны. Важное неравенство между эффективной и геометрической площадями апертуры : $S_{eff} \leq S_{geom}$. Это неравенство следует из интегрального неравенства Коши-Буняковского:

$$\left| \iint_S E_0(x, y) dx dy \right|^2 \leq \iint_S |E_0(x, y)|^2 dx dy \quad \iint_S dx dy :$$

Отношение S_{eff} / S_{geom} называется коэффициентом использования площади (КИП) апертуры или апертурной эффективностью антенны.

Применим полученные результаты. Проще всего применить известные нам результаты к апертурным антеннам с прямоугольной апертурой. Если функция распределения поля по апертуре $E_0(x, y)$ может быть представлена произведением функций, каждая из которых зависит только лишь от X или от Y, интеграл также представляется произведением функций, подобно (9.4). Но в этом случае можно учесть неравномерный характер амплитудного облучения в разных плоскостях. Так, если в направлении оси X поле меняется по косинусоидальному закону, а в плоскости Y - по равномерному, применяя результат из (таблица 1, лекция 4), получим:

$$\iint_{\square} E_0(x, y) e^{ik \sin \vartheta (x \cos \varphi + y \sin \varphi)} dx dy = \frac{8}{\pi^2} S \left(\frac{\cos(0.5kA \sin \vartheta \cos \varphi)}{1 - ((kA/\pi) \sin \vartheta \cos \varphi)^2} \right) \left(\frac{\sin(0.5kB \sin \vartheta \sin \varphi)}{(0.5kB \sin \vartheta \sin \varphi)} \right); \quad (9.7)$$

$$E_0(x, y) = \cos\left(\frac{\pi x}{A}\right);$$

Такие диаграммы направленности характерны для прямоугольных апертур, облучаемых синфазным полем со структурой амплитудного изменения как в прямоугольном волноводе с волной Н₁₀. В плоскости Е ширина диаграммы направленности определяется уже приведённой формулой $\Delta\theta_{0.7} \sim 50.7^\circ \lambda/b$. В плоскости Н ширину можно найти с помощью таблицы 1: $\Delta\theta_{0.7} \sim 68.2^\circ \lambda/a$.

Диаграмма направленности апертурной антенны с круглой апертурой, возбуждаемой волной типа H_{11} , описывается следующим выражением:

$$\frac{1}{S_{ef}} \iint_S E_0(r, \psi) e^{ikr \sin \vartheta (\cos \psi \cos \varphi + \sin \psi \sin \varphi)} r dr d\psi =$$

$$= \left(\frac{2J_1'(ka \sin \vartheta)}{1 - (ka \sin \vartheta / 1.841)^2} \cos^2 \varphi + \frac{2J_1(ka \sin \vartheta)}{(ka \sin \vartheta)} \sin^2 \varphi \right) \quad (9.9)$$

$$E_0(r, \psi) = \sqrt{J_1'^2(u) \cos^2 \psi + (J_1(u)/u)^2 \sin^2 \psi}; \quad u = vr/a; \quad v \approx 1.841;$$

В этой формуле: $J_1(\cdot), J_1'(\cdot)$ - функция Бесселя первого порядка и производная этой функции, a – радиус круглого волновода, 1.841 – приближённое значение первого нуля производной функции Бесселя первого порядка.